

地 下 水 流 の 浸 透 機 構 に つ い て (第三報)

大阪府立高専 正会員 佐藤邦明

1 : 研究目的

われわれは、第一報において多孔体のモデル化とその幾何的特性について述べ、さらに第二報で^②透流の空隙規模によるパターンの分類（吸着水非流動化現象、高粘性吸着水流、粘性流、層流遷移流、および完全乱流）を行ない、各々の流水抵抗の表現を明らかにした。しかし、特に後二者、すなわち遷移流、完全乱流に関し、多孔体の空隙寸法と乱れの規模、局所乱流の発生メカニズム、またそれらと抵抗係数との関連、等の具体的な評価はなされなかつた。

本報では、以上の問題点の解明の端緒となる平均流の規模と平均流方向に垂直な透流成分（層乱流を含む）の実験的推定、およびこの成分と多孔体特性値の相関についてのべる。

透流速度の微視的成分は、直接に空隙中にホットワイアーブローブを設定し、計測するのが妥当であるが、測定の困難のためここでは一様粒径で構成される多孔体、および粒径の分布構成のものについて、流場中の任意点からトレーサー（着色液）の連続的注入によつて起こる定常分散から検討を加える。つまり、これは定常流場内の微速度成分の空間的平均に基づいている。

2 : 基本的考察

二次元定常透流場内の任意の一点から一定量のトレーサーを連続的に注入すると、トレーサー液自身に働く外力を考えなければ、Fig.1の様な分散モデルを想定しうる。

いま、トレーサー注入点から下流の任意点で、

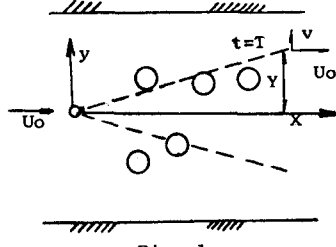


Fig. 1

$$Y = \int_0^T v dt \quad (1)$$

が成立する。ここで、Y；時刻 $t = T$ でトレーサーのY軸方向分散距離、x；平均流方向距離、U；y軸方向の透流速度成分、t；時間、である。多孔体の空隙規模にコンパラブルなvを仮定しうるから、 $\bar{v}_{t=T} = \bar{v}^2$ とすると、分散の数学モデル式は、

$$\frac{1}{2} \frac{d(\bar{Y}^2)}{dT} = \int_0^T v_T v dt = \bar{v}^2 \int_0^T dt \quad (2)$$

である。さらに、平均流速 U_0 を導入すると、 $x = U_0 T$ であるから、

$$\frac{\sqrt{\bar{Y}^2}}{x} = \frac{\sqrt{\bar{v}^2}}{U_0} \quad (3)$$

が近似的に成立する。すなわち、Yはxの増加と共にリニアに増す事になる。したがつて、トレーサーのY軸方向の分散Yが任意のxの点で与えられると、 U_0 は簡単に測定できるから、Y軸方向の平均速度成分Vは推定しうる。以下(3)式を中心に関実験的考察を試みる。

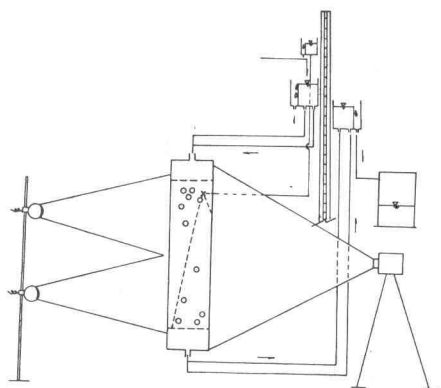


Fig. 2

- $Re = 41.2, \bar{d} = 1.75\text{cm}$
- 88.7
- △ 114.7
- ▲ 189.6
- 242.0
- 285.1
- 322.7
- × 363.0

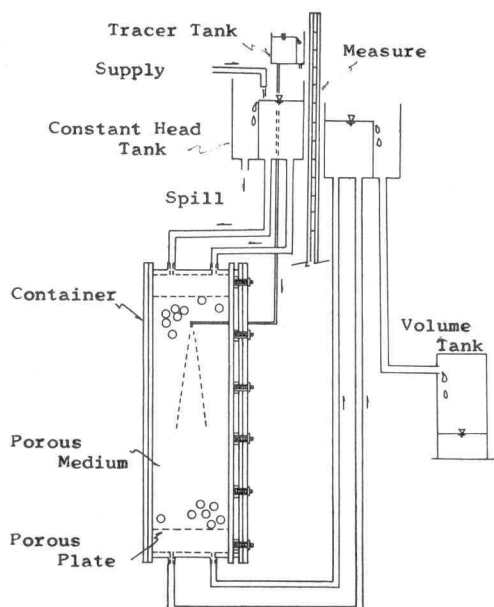


Fig. 3

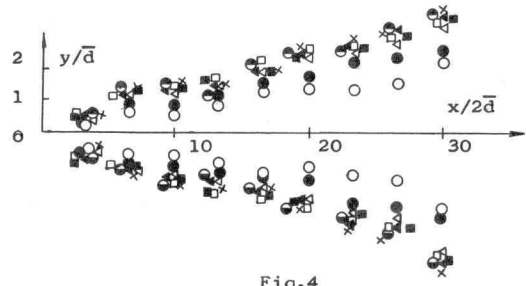


Fig. 4

3 ; 実験装置と実験方法 ,

実験装置は Fig 3 にかけた通りであり , 主要部は 多孔体コンテイナー (内寸法 , $55 \times 17 \times 6\text{ cm}$ 透明アクリライト), オーバーフロータイプ の定水槽 ($20 \times 20 \times 10\text{cm}$ スケール), トレーサー注入管 (内径 , 0.05 cm 真鍮), トレーサー液計量槽 ($10 \times 5 \times 5\text{cm}$ ガラス), および 複透水 計量タンク ($10 \times 10 \times 10\text{ cm}$ スチール) である . これらを 連通するものは 内径 1.9 cm の硬質 ピニール パイプである . 実験方法の概略図は Fig 2. に示されている .

トレーサー の分散の観測は , 多孔体コンテイナー の後部 30 cm 程の所に 500 ワットの投光電球 2 基を置き , その逆の位置 100 cm にカメラを 設置し写真撮影に依つた . トレーサーの注入口は , 複透水流がコンテイナー壁面の影響を 受ける事を考慮して , 観測側壁面より 2 cm 離して固定された . トレーサーの注入量によつて , その分散は若干の 密度差の効果をもつので , 一定量に限 定するため ,

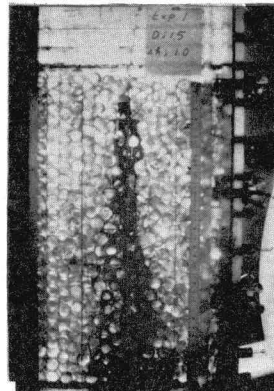


Photo-1 ($Re=39.7$)

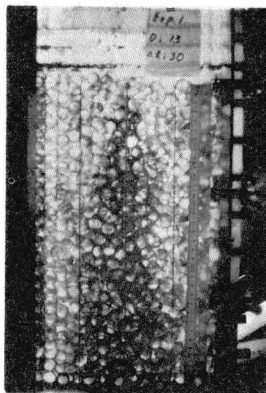


Photo-2 ($Re=388.2$)

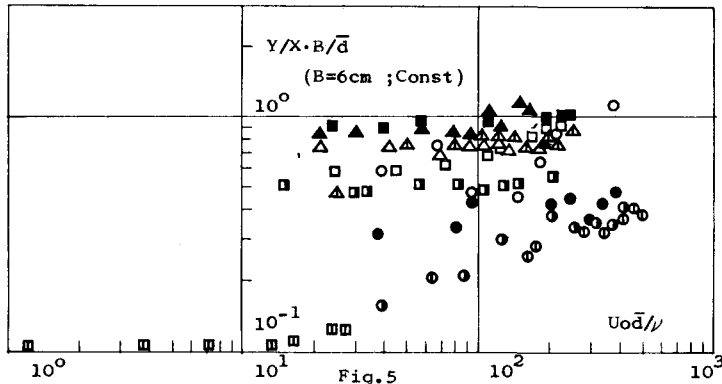


Fig. 5

- P(1.5, 0)
- P(2.4, 0)
- P(2.0, 0)
- P(1.75, 0)
- △ P(0.5, 5)
- ▲ P(0.5, 3.5)
- ▲ P(0.5, 3.5)
- P(0.5, 1.7)
- P(0.15, 0)
- P(0.5, 1.05)
- P(0.5, 0.5)

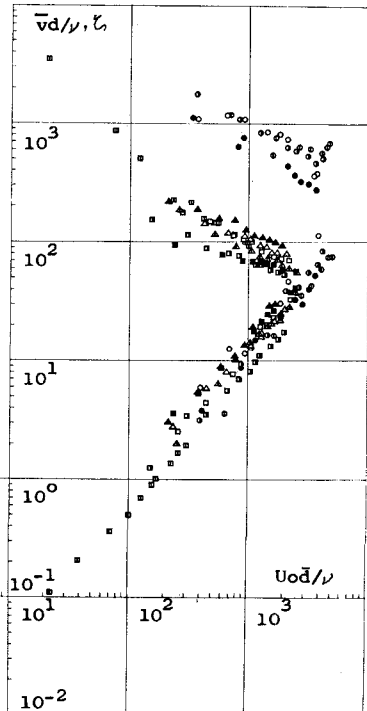


Fig. 6

トレーサー液計量槽の操作で調節された、浸透速度の増減はスタンダムジャヤに固定された2つの定水位槽の位置の相対高度の差で与えられる。実験の順序は次のとくである。

多孔体のコフレイナーに凡そ5kgの多孔体を3層に分け、各々の層を一様につき固めながら充填する次に、漏水止めラバーを挿入し、上蓋を12個のボルトで固定し、所定の位置にトレーサー注入管を設定する。ビニールパイプを接続し、コンテイナーを直立させ、準備は完了する。通水時に注意すべきは空気の混入であるが、これを防止するため下流方向から徐々に逆給水を行なう。数分間通水を続けた後、上下流定水位そう間に水頭差、 $H = 1, 3, 5, 10, 15, 20, 25, 30, 40, 50, 60$ cmを与えた、それらの水頭差に対応するトレーサー分散の写真をとると同時に浸透水量をその都度計る。多孔体はガラス球で、一様平均径の違つた2種と径の正規分布 P (平均径、標準偏差)の異なる6種の計11種を採用した。

(これらについてはFig. 5の表を参照せよ)なお、トレーサーは観測の都合上、ブルーインクと数種の染料を用い、その色素の違いによって写真のフィルムも白黒とカラーを使い分けた。

4: 結果とその検討

トレーサーの分散の写真観測2例(一様粒径 $d = 1.5$ cmの構成多孔体の場合)がphoto-1($Re=39.7$)とphoto-2($Re=388.2$)である。両者共に、前述の(3)式のごとく、分散は、注入点付近を除いて(注入管による局所乱れの発生、トレーサー液と水の密度差に起因)ほぼ直線的に下流方向にひろがる。

しかし、多孔体の最下端で、ポーラス板と浸透流場の消失のため、分散巾は若干急拡する。さらに、分散形態が同一多孔体(一様粒径 $d = 1.75$ cm)について、レイノルズ数の変化に伴ないいかに変化するかを知るため、Fig. 5のような整理を行う。図は、横軸に平均流速 U_0 と平均粒径 \bar{d} による

レイノルズ 数 $Re = U_0 \bar{d} / \nu$ (ν : 動粘性係数), 縦軸にトレーサーの分散 こう配の無次元量 $\frac{Y}{X} \cdot \frac{B}{\bar{d}}$

($B = 6$ cm, 一定多孔体中) をとり, 多孔体特性値別に全データをプロットしたものである。これから, 一様粒径構成多孔体中の分散巾は, 他の分布構成におけるものより小さい傾向がある。

これは次の様に説明される。つまり, 前者の多孔体中に形成される空隙規模は, 後者のそれらより一般に小さい(平均的空隙率から分る)から, 当然, 平均流を横ぎる浸透流変動の規模は小さい。他方分布構成多孔体の場合, 浸透流のy軸方向成分は大きい。したがつて, トレーサーがy軸方向に輸送される量は一様粒径構成のものより分布構成の多孔体中で多い事は明らかである。さらに, 一様粒径構成多孔体($\bar{d} = 0.15$ cmについて, レイノルズ数 $Re = 10$ 位下で $\frac{Y}{X} \cdot \frac{B}{\bar{d}}$ は一定値をとるが, この範囲において層流による分散であり, $Re = 10$ においては乱流による分散が加わるものと断定されよう。

これらの量的評価は, この程度の実験では望みがたい。

次に, Fig.6 は, 縦軸に $Re' = \bar{v} \cdot \bar{d} / \nu$ を取り, 実験値をプロットしたものである。(記号はFig.5 のそれに対応する) また, 同時に, 抵抗係数 C ($I = \frac{C}{\bar{d}} \cdot \frac{U_0^2}{2g}$, I: 動水こう配, g: 重力の加速度) もプロットされている。

Re と Re' にはかなり良い相関が見られる。実験的に十分な精度で次式が成立する。

$$(\bar{v} \cdot \bar{d} / \nu) = C (U_0 \bar{d} / \nu)^n \quad C = 0.0567, \quad n = 1.167, \quad (4)$$

この式によつて, 層, 亂流の分散効果を抽出することは, 抵抗係数に関して明確に判定できるが, 不可能であり, 両者を含んでいる。なお, 抵抗係数のプロットはかなりバラついているが, この点についてわれわれが従来指摘しているごとく, \bar{d} の採用の不適当さを表わしている。

5: 結論

定常浸透流場において, トレーサーの分散は, (3)式に仮定されたごとく, 実験的にもほぼ下流方向距離の増大と共に, トレーサーの注入点付近を除いて, リニアに増加する。この点については, レイノルズ数によつて, $Re' = \bar{v} \bar{d} / \nu$ と $Re = U_0 \bar{d} / \nu$ がかなり有意な相関をもち, (4)式で表わされる。

なお, 多孔体特性値の差異(一様粒径, 分布構成)による Re', Re への直接的な影響は, 検討自体マクロ的であるため; 的確な評価をなし得なかつた。しかし, 一様粒径構成の多孔体の分散は, 他の分布構成のそれに比べ, 前者の空隙規模がほぼ均質で, 後者のそれが不均質のため, かなりの差が認められることは注目すべきであろう。

最後に, いまでもないが, \bar{v} と U_0 の関係が明確に分る事は, 浸透流のモデル化, さらに分散係数の推定にも, 非常に重要なことである。

6: 謝辞

本研究に当たり, 終始, 大阪大学工学部の室田教授から車抜した示辯を賜わつた。さらに, 本校技術員の坂本氏に実験の労を煩らわした。ここに謝意を表わしたい。